

코발트 青色 彩色料에 對한 研究

朴順子
서울大 工大 烹業工學科
(1978년 3월 10일 접수)

A Study on the Cobalt Blue Spinel Stains

Soon-Za Park
Dept. of Ceramic Engin. Seoul National Univ.
(Received March 10, 1978)

ABSTRACT

The cobalt blue spinel stains (main composition; $\text{CoO} : \text{Al}_2\text{O}_3 = 1 : 1$) in $\text{CoO}-\text{NiO}-\text{Al}_2\text{O}_3$ and $\text{CoO}-\text{Al}_2\text{O}_3-\text{Cr}_2\text{O}_3$ system were prepared by the calcination of each component oxides to be adequate for the factory.

The color development, the change of the lattice constant of the spinel and its application to colored glazes were studied.

The results were summarized as follows.

- 1) In $\text{CoO}-\text{Al}_2\text{O}_3$ spinel, the excess addition of each component hardly made any variation in lattice constant and alumina-rich spinel specimens caused the brilliant blue color fade.
- 2) An increase of Ni^{+2} in $\text{CoO}-\text{NiO}-\text{Al}_2\text{O}_3$ system, made the lattice constant of the $\text{CoO}-\text{Al}_2\text{O}_3$ spinel smaller, and an increase of Cr^{+3} in $\text{CoO}-\text{Al}_2\text{O}_3-\text{Cr}_2\text{O}_3$, larger.
- 3) Glazed stains under lead glaze were colored nearly same dark blue color fade.

1. 緒論

Thenard blue라고 알려져고 있는 $\text{CoO}\cdot\text{Al}_2\text{O}_3$ 系 spinel 彩色料는 安全한 軟下彩色料로 가장 많이 使用되고 있다.

따라서 cobalt spinel에 對한 研究도^{1~3)} 活潑히 進行되고 있으며, 이를 中心으로 한 4成分, 5成分系의 彩色料^{4~8)}에 對해서도 많이 發表된 바 있다. 그러나 從前의 cobalt spinel에 對한 研究^{4~8)}는 $\text{CoO}\cdot\text{Al}_2\text{O}_3$ 의 結晶學的研究를 為해 $\gamma\text{-Al}_2\text{O}_3$ 와 $\text{Co}(\text{OH})_2$, 或은 CoCl_2 와 AlCl_3 로 $\text{Co}(\text{OH})_2$ 와 $\text{Al}(\text{OH})_3$ 을 共沈시킨 後長時間加熱하여 $\text{CoO}\cdot\text{Al}_2\text{O}_3$ 를 製造하고 있다. 또 多成分系의 spinel 固溶體를 研究한 Ohtsuka^{4~8)}도 Al_2O_3 의 原料로서는 反應性을 考慮해서인지 水酸化物를 使用하고 있다. 그러나 우리 나라의 現場에서는 cobalt spinel의 結晶을 키우는 것이 目的이 아니고 stain 製造가 目的이며 뜨 國內에서 容易하게 求할 수 있는 것이 $\gamma\text{-alu-$

nina

나 $\text{Al}(\text{OH})_3$ 가 아니고 $\alpha\text{-Al}_2\text{O}_3$ 임을勘案하여 本研究에서는 國內에서 可能한 容易한 製造方法으로 $\text{CoO}\cdot\text{Al}_2\text{O}_3$ 系 spinel stain을 製造하고 이들 stain에 對하여 檢討하였다.

Thernard blue은 $\text{CoO} : \text{Al}_2\text{O}_3 = 1 : 1$ 인 spinel이 아니며 Al_2O_3 가 過剩으로 들어간 $\text{CoO}\cdot n\text{Al}_2\text{O}_3$ 의 defective spinel 임에着眼하여 $\text{CoO} : \text{Al}_2\text{O}_3 = 1 : 1$ 을 基準으로 하여 兩成分이 過剩으로 들어간 試料와 또 이런 system에 不純物로 들어가기 쉽고 또한 Co^{+2} 이온과 Al^{+3} 이온과置換하기 쉬운 Ni^{+2} 이온과 Cr^{+3} 이온을 振하여 $\text{CoO}-\text{Al}_2\text{O}_3-\text{NiO}$ 및 $\text{CoO}-\text{Al}_2\text{O}_3-\text{Cr}_2\text{O}_3$ 系의 stain을 合成하여 生成物의 鑛物組成, spinel의 格子常數와 色의變化 및 이들 stain의 紬藥에 對한 適用性을 檢討하였다.

2. 實驗方法

2-1. 試料의 調製

各試料의 組成은 CoO와 Al₂O₃의 mol比를 세가지로 달리하고 이 각각의 組合에 對하여 NiO와 Cr₂O₃의 添加에 따른 變化를 보기 為하여 Table 1과 같이 21種의 試料를 調製하였다.

使用한 原料는 各其 一級試藥의 酸化物을 使用하였으며, 湿式으로 30分混合한 後 乾燥시켜 粉末狀態로 도기나에 넣어 輕油가마에서 烧成하였다. 最高燒成溫度인 1280°C에서 1時間維持시킨 後 放冷시켰다. 烧成이 끝난 試料를 다시 湿式으로 粉碎하여 325mesh를 全通시켜 다음의 測定에 使用하였다.

Table. 1 Composition of the Samples. (mole ratio)

Component Sample No.	CoO	Al ₂ O ₃	NiO	Cr ₂ O ₃
1	1	1		
2	1	2.5		
3	2.5	1		
4	1	1	0.01	
5	1	1	0.05	
6	1	1	0.1	
7	1	2.5	0.01	
8	1	2.5	0.05	
9	1	2.5	0.1	
10	2.5	1	0.01	
11	2.5	1	0.05	
12	2.5	1	0.1	
13	1	1		0.01
14	1	1		0.05
15	1	1		0.1
16	1	2.5		0.01
17	1	2.5		0.05
18	1	2.5		0.1
19	2.5	1		0.01
20	2.5	1		0.05
21	2.5	1		0.1

2-2 測定方法

2-2-1. X線回折分析

自記式 X線回折裝置(Rigaku 2037)로 spinel의 生成을 觀察하고 格子常數의 精密測定은 高純度의 Si를 内部標準으로 하여, 生成된 spinel의 (220), (311), (400), (422), (333), (440)面의 回折 peak로 a를 計算한 後, 이들 값을 가지고 least-squares method로 格子常數를 算出하여 添加物의 固溶에 對한 格子常數의 變化를 檢討하였다.

2-2-2. 分光分析

自記式 分光光度計(shimazu MPS-5000)로 3400~7400Å間의 分光反射率曲線을 測定하여 組成에 따른 吸收 peak를 檢討하였다.

2-2-3. 適用試驗

合成한 spinel stain의 陶磁器下繪用 彩色料로서의 通用性을 檢討하기 為해 國內 J會社의 biscuit 타일素地(吸水率: 14.97%) 試片에 施繪한 後, Table 2의 frit glaze를 dipping法으로 施釉하고 950°C에서 烧成한 後 2-2-2에 依하여 施釉한 色의 反射率을 測定하였다.

3. 結果 및 考察

3-1. 結果

試料에서 檢出된 鎳物組成, 色은 Table 3에, 格子常數는 Table 4에, 分光反射率曲線은 Fig. 1~7에, 施釉된 面의 分光反射率曲線은 Fig. 8~10에 圖示하였다.

Table. 2 Composition of Glaze.

RO	R ₂ O ₃	RO ₂
0.128 Na ₂ O	0.005 Fe ₂ O ₃	0.244 B ₂ O ₃
0.003 K ₂ O	0.087 Al ₂ O ₃	1.610 SiO ₂
0.454 PbO		
0.005 MgO		
0.410 CaO		

Table. 3 Spinel Solid Solution in NiO-CoO-Al₂O₃-Cr₂O₃-System

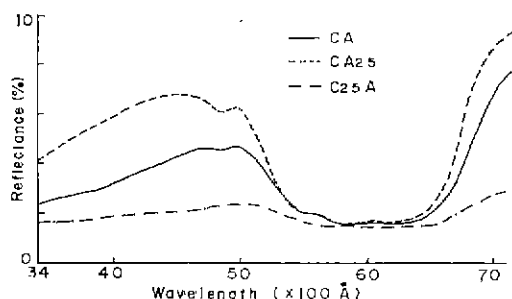
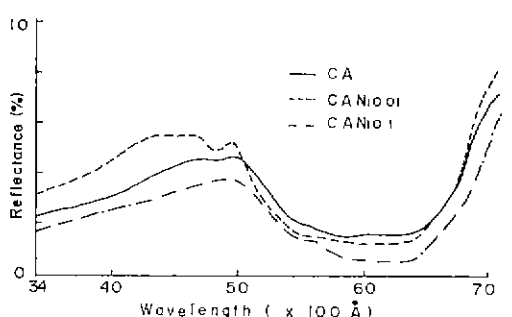
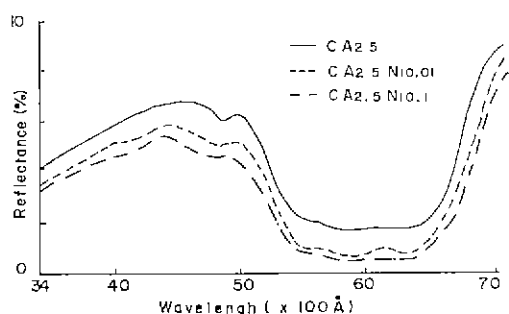
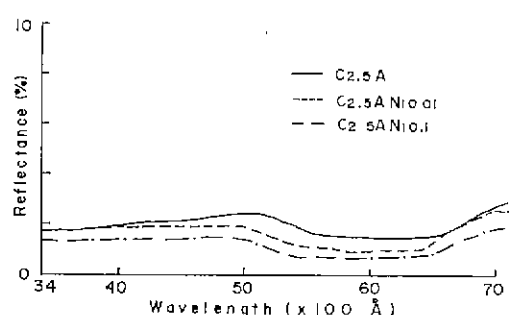
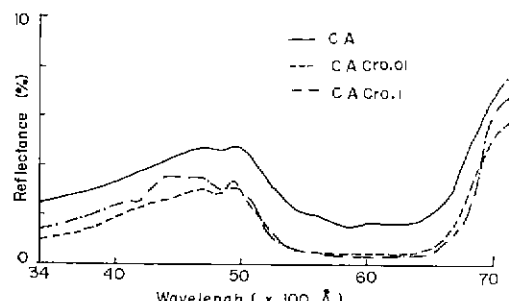
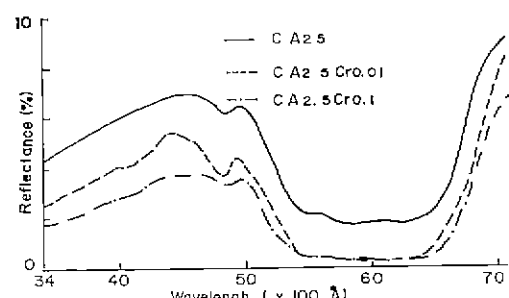
No.	Composition	Color	Minerals [*]
1	CA	greyish blue	S. A.
2	CA _{2.5}	blue	S. A.
3	C _{2.5} A	dark blue	S.
4	CANi _{0.01}	dirty grey blue	S.
5	CANi _{0.05}	"	S.
6	CANi _{0.1}	"	S.
7	CA _{2.5} Ni _{0.01}	brilliant blue	S. A.
8	CA _{2.5} Ni _{0.05}	"	S. A.
9	CA _{2.5} Ni _{0.1}	"	S. A.
10	C _{2.5} ANi _{0.01}	greenish dark blue	S.
11	C _{2.5} ANi _{0.05}	"	S.
12	C _{2.5} ANi _{0.1}	"	S.
13	CACr _{0.01}	blue	S.
14	CACr _{0.05}	"	S.
15	CACr _{0.1}	"	S.
16	CA _{2.5} Cr _{0.01}	brilliant blue	S. A.
17	CA _{2.5} Cr _{0.05}	"	S. A.

18	$CA_{2.5}Cr_{0.1}$	"	S. A.
19	$C_{2.5}ACr_{0.01}$	bluish black	S.
20	$C_{2.5}ACr_{0.05}$	"	S.
21	$C_{2.5}ACr_{0.1}$	"	S.

*S: spinel A: alumina

Table 4 Lattice Constant of the Samples.

Sample No.	Composition	Lattice const. (\AA)
1	CA	8.112
2	$CA_{2.5}$	8.111
3	$C_{2.5}A$	8.101
4	$CANi_{0.01}$	8.108 (8.097)
5	$CANi_{0.05}$	8.108 (8.097)
6	$CANi_{0.1}$	8.099 (8.083)
13	$CACr_{0.01}$	8.104 (8.121)
14	$CACr_{0.05}$	8.115 (8.129)
15	$CACr_{0.1}$	8.112 (8.166)

**Fig. 1** Reflectance spectra of CA, $CA_{2.5}$ and $C_{2.5}A$ **Fig. 2** Reflectance spectra of CA containing NiO**Fig. 3** Reflectance spectra of $CA_{2.5}$ containing NiO**Fig. 4** Reflectance spectra of $C_{2.5}A$ containing NiO**Fig. 5** Reflectance spectra of CA containing Cr_2O_3 **Fig. 6** Reflectance spectra of $CA_{2.5}$ containing Cr_2O_3

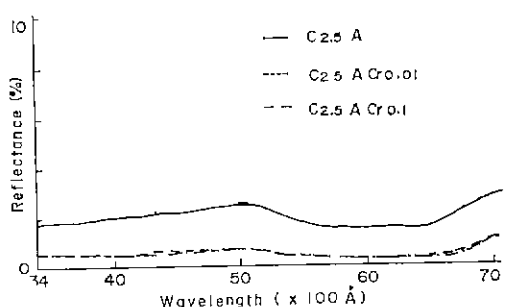
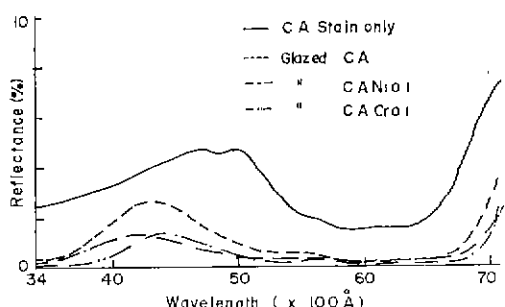
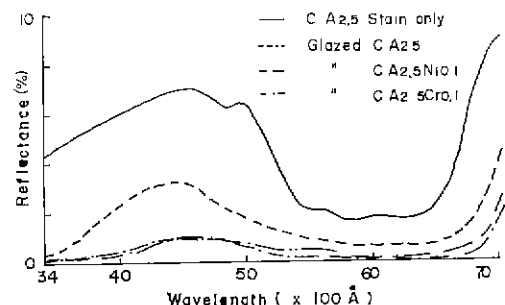
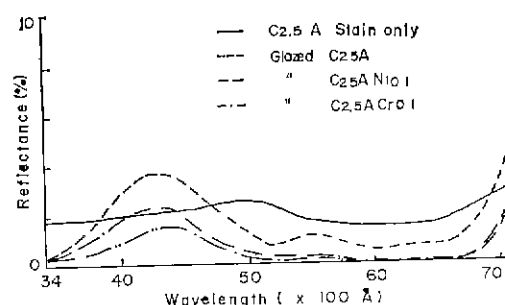
Fig. 7 Reflectance spectra of $C_{2.5}A$ containing Cr_2O_3 

Fig. 8 Reflectance spectra of CA and glazed CA

Fig. 9 Reflectance spectra of $CA_{2.5}$ and glazed $CA_{2.5}$ Fig. 10 Reflectance spectra of $C_{2.5}A$ and glazed $C_{2.5}A$

Table이나 Figure에서試料의組成을表示하는記號를使用하였는데 $CoO:C$, $Al_2O_3:A$, $NiO:Ni$, $Cr_2O_3:Cr$ 로表示하였다.例를 들어 Table 1의 sample No. 12은 $C_{2.5}ACr_{0.1}$ 로表記하였다.

3-2. 察察

Table 3를 살펴볼때 全試料에서 spinel peak는 檢出되었고 Al_2O_3 가理論值보다過剩으로 들어간 No. 2, 7, 8, 9, 16, 17, 18等에서는 spinel peak以外에 α -alumina peak도檢出되었다. CoO 가過剩으로 들어간試料에서 CoO (Co_3O_4) peak가檢出됨이妥當하나 $CoO \cdot Al_2O_3$ peak와重複되어 나타나고 있다.

格子常數의測定結果를收錄한 Table 4를 보면, Al_2O_3 가過剩으로 들어간 $CA_{2.5}$ 나 CoO 가過剩으로 들어간 $C_{2.5}A$ 의格子常數는 CA와比較하여 $\pm 0.005\text{\AA}$ 의變化率을보이고 있음으로 Al_2O_3 나 CoO 가過剩으로 들어갔다고해서 어느 한쪽이 더 많은 defective spinel은生成되지 않았음을 알 수 있다. Yamaguchi⁹⁾의 $MgO \cdot Al_2O_3$ 에對한研究結果에依하면 Mg -rich spinel은生成되지 않고 $MgO \cdot nAl_2O_3$ defective spinel¹⁰⁾形成되고 있고 또 cobalt spinel¹¹⁾에對해서도 $CoO \cdot nAl_2O_3$ 만이報告되고 있다. MOORI^{12,13)}도 $CoO \cdot Al_2O_3$ 가 Al_2O_3 에固溶된을報告하고 있는데 이들은 $Co(OH)_2$ 와 $\gamma-Al_2O_3$ 을使用하여 $CoO \cdot nAl_2O_3$ spinel를 만들었으며, 이는 defective spinel임으로 Al_2O_3 의含量의增加에 따라 spinel의格子常數의減少를가지오고 있으나本研究에서는 Al_2O_3 의原料로 $\alpha-Al_2O_3$ 를使用하였으므로 $CoO \cdot nAl_2O_3$ 生成의可能性은排除되어야 할 것이다.

또 $CoO \cdot nAl_2O_3$ 의固溶限界를溫度別로報告하고 있는데 1300°C 에서의固溶限界的組成은 $CoO \cdot 1.05Al_2O_3$ 로되어있다.

CA , $CA_{2.5}$, $C_{2.5}A$ 의格子常數의差가크지않아서이 세試料에서는同一한spinel이生成되었고生覺하고 CA 에 NiO 와 Cr_2O_3 을添加한 No. 4~6과 No. 13~15等의格子常數의變化를Table 4에表示하였다.

$CoO \cdot nAl_2O_3$ defective spinel에서는 Co 는主로4配位位置를, 또空位는6配位位置를占有하게되는데 $CoO \cdot Al_2O_3$ 에 Ni^{+2} [온이 들어갈때는 $Co^{+2} \rightarrow Ni^{+2}$, $Al^{+3} \rightarrow Ni^{+2}$]¹⁰⁾의 두경우를생각할수있는데 Ni^{+2} [온이 Al^{+3} 이온을밀어내는경우defect가생겨 $CoO \cdot nAl_2O_3$ 과같이格子常數의減少를豫想할수있으며이豫想된結果가Table 4의括弧內의格子常數의値(No. 4, 5, 6의境遇)으로 나타나있다.

이括弧내의 格子常數의 計算은 다음과 같이 하였다. 本研究에서 行한 것과 같은 試料의 烧成方法으로서는 烧成時間이 充分하지 않아 $\text{Al}^{+3}\rightarrow\text{Ni}^{+2}$ 의 置換이 部分的으로 일어날 可能性이 있다. 이事實을 肉半침하고 있는 것이 Fig. 11에 表示된 diffraction peak의 變化이다.

이 그림은 CA와 CANi 및 CACr의 (311)面의 diffraction peak이며 (b)가 CA의 peak이고 (a)는 NiO를 含有한 CANi의 peak이며 (c)는 Cr_2O_3 를 包含하고 있는 CACr의 peak를 나타내고 있다. 이 diffraction peak의 變化를 보면 CA에 NiO나 Cr_2O_3 가 들어가면 peak도 broad하게 되고 또 턱이 생겼음을 볼 수 있다.

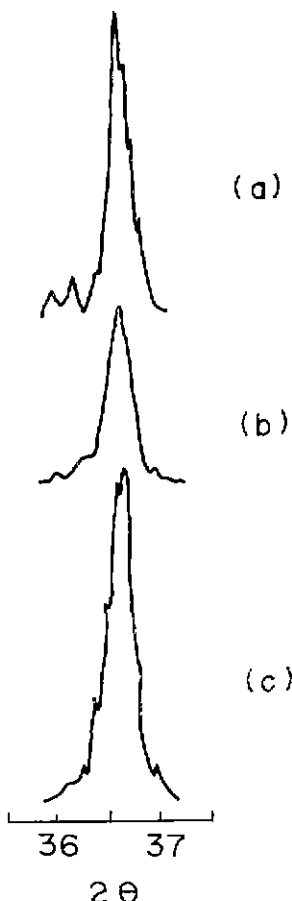


Fig. 11 Change of diffraction peak of the spinel (311) with the addition of NiO and Cr_2O_3

即 6配位位置의 Al^{+3} 이온을 Ni^{+2} 이온이 置換할 때 peak의 오른 쪽에, 即 2θ 의 값이 큰 peak의 侧面에 턱이 생겼으며, Al^{+3} 이온이 Cr^{+3} 이온으로 置換될 때

는 peak의 左쪽에 여러 개의 턱이 생겼음을 볼 수 있어 置換이 漸次的으로 일어나고 있음을 알 수 있다. 括弧내의 格子常數는 이런 턱의 sub-peak의 d값으로 計算한 값이다. 따라서 主 peak로 計算한 格子常數는 別로 變化가 없으나 이런 sub-peak로 計算한 格子常數는 Ni^{+2} 이온이 들어감으로서 0.01Å의 格子常數의 減少를, Cr^{+3} 이온이 들어감으로서 0.06Å의 格子常數의 增加를 볼 수 있다. 今後 長時間의 烧成으로 잘 發達된 良質의 結品를 製造하여 確認實驗을 하려고 生覺하고 있다.

Table 3에 記錄된 各試料의 色을 檢討하여 보면, $\text{CoO} : \text{Al}_2\text{O}_3$ 가 1:1인 CA가 黑色 greyish blue을 나타내고 $\text{CA}_{2.5}$ 은 美麗한 青色을, $\text{C}_{2.5}\text{A}$ 는 어두운 青色을 나타내고 있다. reflectance spectra인 Fig. 1~7을 볼 때 全般의으로 相當히 적은 反射率를 나타내고 있으며 5000~7000Å間에 broad한 吸收 peak가 있는 것은 모두 共通된 點이다. Fig. 1에서는 이 broad한 band外에 4700~5000Å間에 적은 吸收 peak를 볼 수 있는데 試料 $\text{C}_{2.5}\text{A}$ 에서는 4700~5000Å間의 peak는 찾아 볼 수 없고 거기 橫軸에 平行한 曲線을 나타내고 있다. CA에 NiO가 添加된 Fig. 2의 反射率曲線에서도 NiO가 0.01mol含有된 $\text{CANi}_{0.01}$ 에서는 4700~5000Å의 peak는 더 뚜렷해지고 있으나 NiO의 含量이 많아짐에 따라 이 吸收 peak는 찾아 볼 수 없고 5000~7000Å間의 broad한 吸收帶만이 나타나 있다. $\text{CA}_{2.5}$ 에 NiO가 含有된 Fig. 3에서는 表示된 세曲線에서 모두 4700~5000Å의 吸收 peak를 찾아 볼 수 있으나 NiO含量이 增加됨에 따라 短波長側으로 shift되는 傾向이 있다. $\text{C}_{2.5}\text{A}$ 에 NiO가 含有된 Fig. 4에서는 Table 3의 色으로豫想할 수 있는 바와 같이 測定한 全波長에 걸쳐 3%以下の 적은 反射率를 나타내고 있다. CA에 Cr_2O_3 가 含有된 Fig. 5와 $\text{CA}_{2.5}$ 에 Cr_2O_3 가 含有된 Fig. 6에서도 4700~5000Å의 吸收 peak는 그대로 남아 있고 이以外에 4200~4600Å間에 세로운 反射 peak가 보이며 이 傾向이 CA에 Cr_2O_3 가 添加되었을 때 보다 $\text{CA}_{2.5}$ 에 Cr_2O_3 가 添加되었을 때가 더 뚜렷해지고 있다. $\text{C}_{2.5}\text{A}$ 에 Cr_2O_3 가 添加된 Fig. 7은 Fig. 4와 마찬가지로 全波長에 걸쳐 3%以下の 反射率의 變化를 보여주고 있어 이런 傾向은 添加物인 NiO나 Cr_2O_3 에 依한 것보다는 過剰의 CoO에 依한 것이라고 생각된다.

施釉된 試料의 反射率曲線을 表示하고 있는 Fig. 8~10에서는 全般的으로 4700~5000Å의 吸收 peak가 broad한 吸收帶에 併合되어 band의 幅이 더 増大되어 4500~7000Å에 이르는 增大된 單一吸收帶로 變化하고 있는 것으로 보아 施釉된 試料는 더 어두운 青色임을豫

想할 수 있다.

施釉된 試料의 色으로 推定할 수 있는 事實은 製造된 彩色料의 色이 若干의 組成差나 또는 燃成條件의 差에 依해 若干의 color fade의 差가 有더라도 lead glaze로 施釉하면 施釉面의 色은 거이 같은 色調의 青色을 얻을 수 있다는 點이다. 이원 點은 現場에서 色의 品質管理를 極히 容易하게 行할수 있음을 말해주고 있다.

結論

$\text{CoO} : \text{Al}_2\text{O}_3 = 1 : 1$ 의 組成을 基準으로 하여 $\text{CoO}-\text{Al}_2\text{O}_3-\text{NiO}$, $\text{CoO}-\text{Al}_2\text{O}_3-\text{Cr}_2\text{O}_3$ 系의 spinel彩色料를 現場에 알맞는 方法으로 製造하여 그 色의 變化, 鑄物組成, spinel의 格子常數의 變化, 施釉된 彩色料의 色等에 對하여 檢討하였다.

- 1) $\text{CoO}\cdot\text{Al}_2\text{O}_3$ spinel에서 CoO 나 Al_2O_3 가 過剰으로 添加되어도 格子常數의 變化는 거이 없으며 Al_2O_3 가 過剰으로 들어간 stain이 가장 좋은 色을 나타내고 있다.
- 2) $\text{CoO}\cdot\text{Al}_2\text{O}_3$ system에 NiO 가 들어감으로서 格子常數의 減少를, Cr_2O_3 가 添加됨에 따라 格子常數의 增加를 볼 수 있다.
- 3) 鉛釉로 施酢된 stain은 거이同一한 色調의 青色을 나타내고 있다.

References.

- 1) T. Moori. "Study on synthesis of $\text{CoO}\cdot\text{Al}_2\text{O}_3$

spinel" *Yogyo-Kyokai-shi*, 84(9), 447~9 (1976).

- 2) T. Moori. "Study on the solid solution between $\text{CoO}\cdot\text{Al}_2\text{O}_3$ and Al_2O_3 " *ibid* 84(11), 539~41 (1976)
- 3) G. Yamaguchi & H. Miyabe. "Crystal structure of a defective spinel, $\text{CoO}\cdot3\text{Al}_2\text{O}_3$, constituting cobalt blue pigment" *ibid* 83(2), 87~9 (1975).
- 4) A. Ohtsuka & H. Haneda. "Formation and color of the spinel solid solution in $\text{CoO-ZnO-Al}_2\text{O}_3-\text{Cr}_2\text{O}_3$ -System" *ibid* 84(2), 32~89 (1976)
- 5) A. Ohtsuka & H. Shimazu. "Formation and color of the spinel solid solution in $\text{CoO-MgO-Al}_2\text{O}_3-\text{Cr}_2\text{O}_3-\text{SnO}_2$ system" *ibid* 84(B), 360~72 (1976).
- 6) A. Ohtsuka & K. Kazama. "Formation and color of the spinel solid solution in $\text{CoO-ZnO-Al}_2\text{O}_3-\text{Cr}_2\text{O}_3-\text{TiO}_2$ system" *ibid* 84(10), 457~69 (1976).
- 7) A. Ohtsuka & S. Fujiwara. "Formation and color of the spinel solid solution in $\text{CoO-MgO-Al}_2\text{O}_3-\text{Cr}_2\text{O}_3-\text{TiO}_2$ system" *ibid* 84(11), 561~73 (1976).
- 8) R. R. Dayal, R. E. Johnson, & A. Muan. "Stability of Mullite as derived from equilibria in the system $\text{CoO-Al}_2\text{O}_3-\text{SiO}_2$." *J. Am. Cer. Soc.* 50 (10), 537~40 (1967).
- 9) Kouhei Shirasuka & Goro Yamaguchi. "Precise Measurement of the crystal data and the solid solution range of the defective spinel, $\text{MgO}\cdot n\text{Al}_2\text{O}_3$." *ibid* 82(12), 650~3 (1974).
- 10) A. F. Wells, "Structural Inorganic Chemistry" p. 489, Oxford U. Press (1962).